

# La ley del descenso tendencial de la tasa de ganancia: Evidencia empírica para la economía española

---

Iván López-Espejo<sup>a</sup>

Departamento de Teoría de la Señal, Telemática y Comunicaciones,  
Universidad de Granada, 18071 Granada, España

<sup>a</sup>Autor de correspondencia: iloes@ugr.es

## Resumen:

Este artículo examina la ley del descenso tendencial de la tasa de ganancia en la economía española entre 1960 y 2024, considerando la composición orgánica del capital y la tasa de plusvalía como variables centrales. Su objetivo es determinar si esta ley, formulada por Marx en «El Capital» (Vol. III), sigue operando en el contexto contemporáneo. La metodología consiste en transformar categorías macroeconómicas ortodoxas derivadas de la Contabilidad Nacional de España (CNE), disponibles en BDMACRO, en variables marxistas: capital constante ( $c$ ), capital variable ( $v$ ) y plusvalía ( $pv$ ). A partir de estas, se construyen series históricas de la composición orgánica del capital ( $q$ ), la tasa de plusvalía ( $pv'$ ) y la tasa de ganancia ( $g'$ ), ajustadas a precios constantes para garantizar coherencia y comparabilidad temporal. Los resultados muestran un aumento sostenido de  $q$  y una ligera disminución de  $pv'$ , generando un descenso tendencial de  $g'$ , con fluctuaciones cíclicas asociadas a crisis puntuales. Las conclusiones confirman empíricamente la validez de la ley en España, constatando los límites históricos del capitalismo y aportando evidencia cuantitativa sobre la dinámica estructural de la rentabilidad.

**Palabras clave:** Tendencia de la tasa de ganancia, composición orgánica del capital, tasa de plusvalía, economía española, ciclos económicos

**Abstract:**

This article examines the law of the tendency of the rate of profit to fall in the Spanish economy between 1960 and 2024, considering the organic composition of capital and the rate of surplus value as central variables. Its aim is to determine whether this law, formulated by Marx in *Capital* (Vol. III), continues to operate in the contemporary context. The methodology consists of transforming orthodox macroeconomic categories derived from the Spanish National Accounts (CNE), available in BDMACRO, into Marxist variables: constant capital ( $c$ ), variable capital ( $v$ ), and surplus value ( $pv$ ). Based on these, historical series of the organic composition of capital ( $q$ ), the rate of surplus value ( $pv'$ ), and the rate of profit ( $g'$ ) are constructed, adjusted to constant prices to ensure temporal coherence and comparability. The results show a sustained increase in  $q$  and a slight decrease in  $pv'$ , generating a tendential decline in  $g'$  with cyclical fluctuations associated with specific crises. The conclusions empirically confirm the validity of the law in Spain, highlighting the historical limits of capitalism and providing quantitative evidence on the structural dynamics of profitability.

**Key words:** Tendency of the rate of profit, organic composition of capital, rate of surplus value, Spanish economy, economic cycles

## I Introducción

El modo de producción capitalista, actualmente dominante a escala global, presenta límites históricos vinculados al alto grado de desarrollo de las fuerzas productivas que este sistema genera (Harvey, 1999). Formulada por Karl Marx y publicada en el Volumen III de «*El Capital*» (Marx, 1976), la ley del descenso tendencial de la tasa de ganancia constituye una de las expresiones más acabadas de estos límites históricos. En este breve artículo, llevamos a cabo un análisis empírico de la evolución de la tasa de ganancia y sus categorías económicas integrantes (es decir, la composición orgánica del capital y la tasa de plusvalía) en el contexto de la economía española, con el objetivo primordial de determinar si la ley del descenso tendencial de la tasa de ganancia sigue operando en este marco. Cabe señalar que, si bien Izquierdo (2003) realizó un estudio similar al aquí propuesto, una de las diferencias más importantes radica en que en este trabajo se contempla un período de análisis mucho más amplio (1960–2024 vs. 1964–2000). Esto es crucial debido a la naturaleza tendencial de la ley que nos ocupa, pudiendo fenómenos coyunturales distorsionar su visibilidad en el corto plazo (Marx, 1976; Harvey, 2012).

## I.A Definición de las categorías esenciales

En primera instancia, recordemos que es posible considerar el conjunto de la economía de una determinada sociedad capitalista como la de una gran empresa, *metafóricamente hablando* (Marx, 1976; Carchedi, 2011; Kliman, 2011). Por tanto, la tasa de ganancia o rentabilidad de dicha economía,  $g'$ , viene dada por la expresión

$$g' = \frac{pv}{c + v}, \quad (1)$$

donde  $pv$  es la plusvalía (la cual podemos aproximar en nuestro contexto al total de beneficios generados en la economía bajo análisis),  $c$  es el capital constante (capital total invertido en medios de producción) y  $v$  es el capital variable (capital total invertido en fuerza de trabajo).

Seguidamente, estamos en disposición de definir la composición orgánica del capital (que puede interpretarse como un indicador del grado de tecnificación de la producción en un contexto determinado),  $q$ , como el cociente entre el capital constante,  $c$ , y el capital variable,  $v$ , es decir,

$$q = \frac{c}{v}. \quad (2)$$

De otra parte, definimos la tasa de plusvalía (la cual refleja la intensidad de explotación del trabajo asalariado),  $pv'$ , como la relación entre la plusvalía,  $pv$ , y el capital invertido en fuerza de trabajo,  $v$ :

$$pv' = \frac{pv}{v}. \quad (3)$$

Finalmente, nótese que podemos reescribir la expresión de la tasa de ganancia o rentabilidad recogida en la Ecuación (1) en términos de la tasa de plusvalía,  $pv'$ , y de la composición orgánica del capital,  $q$ , como

$$g' = \frac{pv}{c + v} = \frac{pv'}{1 + q}. \quad (4)$$

En la subsección siguiente nos apoyamos en las categorías económicas marxistas, derivadas de la teoría del valor-trabajo, aquí definidas para ilustrar la ley del descenso tendencial de la tasa de ganancia.

## I.B Ley del descenso tendencial de la tasa de ganancia

Como ya se teorizara, la composición orgánica del capital,  $q$ , tiende a aumentar con el transcurso del tiempo en el marco del modo de producción capitalista (Marx, 1976; Kliman, 2011; Carchedi, 2011). La explicación a este fenómeno es la siguiente. Con el objetivo de

mejorar su posición competitiva en el mercado, cada capitalista, *de forma individual*, busca incrementar la productividad a través de invertir en la automatización o mecanización de sus procesos de producción. Sin embargo, *en términos agregados* (es decir, cuando el conjunto de la clase capitalista se mueve en la dirección de la automatización como resultado de la competencia), esta dinámica conlleva un aumento de la inversión social total en medios de producción ( $c \uparrow$ ), así como una posible reducción de la fuerza de trabajo social total ( $v \downarrow$ ). En otras palabras, la mecanización de los procesos productivos derivada de la pugna intercapitalista provoca el crecimiento, *como tendencia*, de la composición orgánica del capital ( $q \uparrow$ , véase la Ecuación (2)) a lo largo del tiempo (Marx, 1976; Kliman, 2011; Carchedi, 2011).

Con base en la Ecuación (4), que expresa  $g'$  en función de  $q$ , resulta evidente que la evolución creciente de la composición orgánica del capital presiona a la baja la tasa de ganancia ( $g' \downarrow$ ), lo que sólo puede compensarse *de manera limitada y temporal* mediante el incremento de la explotación del trabajo asalariado (es decir, aumentando  $pv'$ ). Este fenómeno es lo que se conoce como ley del descenso tendencial de la tasa de ganancia, ley que actúa como uno de los mecanismos estructurales más relevantes en la génesis de crisis económicas (en tanto que ralentización o interrupción del ritmo de acumulación) de escasez de plusvalía (Marx, 1976; Kliman, 2011; Carchedi, 2011; Roberts, 2016).

Como corolario, obsérvese el carácter contradictorio del comportamiento aquí descrito, que es a su vez causa de la progresión de  $q$ : la automatización de los procesos productivos en la que cada capitalista invierte individualmente para mejorar su posición competitiva en el mercado y, por tanto, su ganancia, en términos agregados hace reducir, en su propio perjuicio, la rentabilidad que obtiene el conjunto de los capitalistas como clase social.

Esta contradicción fundamental será examinada en la evolución histórica de la economía española en las siguientes secciones.

### I.C Resumen de la organización del artículo

El resto del artículo se organiza de la siguiente manera: la Sección II describe la metodología seguida para elaborar curvas de composición orgánica del capital y de tasas de plusvalía y ganancia a partir de categorías económicas ortodoxas derivadas de la Contabilidad Nacional de España (CNE), tal y como se presentan en la base de datos BDMACRO (Ministerio de Hacienda, Secretaría de Estado de Presupuestos y Gastos, 2025). Las curvas obtenidas se muestran y discuten en la Sección III. Finalmente, la Sección IV concluye el artículo.

## II Metodología

Para construir curvas de composición orgánica del capital y de tasas de plusvalía y ganancia, recurrimos en este trabajo a BDMACRO (Ministerio de Hacienda, Secretaría de Estado de Presupuestos y Gastos, 2025), una base de datos anual de magnitudes macroeconómicas de la economía española. Estas series proceden de la CNE y tienen año base 2020. La razón primordial para la elección de BDMACRO radica en el amplio período temporal que abarca (1954–2024) en comparación con otras bases de datos de magnitudes macroeconómicas españolas.

El primer paso consiste en establecer una correspondencia entre las categorías económicas ortodoxas de BDMACRO y las categorías marxistas elementales  $c$ ,  $v$  y  $pv$  que posibilitan el cálculo de  $q$ ,  $pv'$  y  $g'$  (véanse las Ecuaciones (2), (3) y (4)):

1. *Capital constante, c*: Empleamos como medida de esta variable el *stock* de capital fijo (Kliman, 2011; Carchedi, 2011; Roberts, 2016) dado por la categoría de BDMACRO *Stock de Capital total* (AMECO). Cabe señalar que esta serie (1960–2024) proviene de la base de datos AMECO de la Comisión Europea (European Commission, 2025).
2. *Capital variable, v*: El valor de la fuerza de trabajo es aproximado aquí a la remuneración de asalariados.
3. *Plusvalía, pv*: Para la estimación de esta variable, seguimos una de las metodologías habitualmente utilizadas en la literatura marxista contemporánea consistente en sustraerle al producto interior bruto (PIB) el capital variable,  $v$ , y el consumo de capital fijo (es decir, el total de los activos fijos consumidos como consecuencia del desgaste natural a lo largo del período en cuestión),  $c'$  (Kliman, 2011; Carchedi, 2011; Roberts, 2016). En términos matemáticos,

$$pv \approx \text{PIB} - v - c'. \quad (5)$$

Es esencial aclarar que los diferentes flujos anuales de BDMACRO aquí considerados (es decir, el PIB, la remuneración de asalariados y el consumo de capital fijo) están expresados en precios corrientes. Antes de emplearlos, estos flujos se convierten a precios constantes haciendo uso del deflactor<sup>1</sup> del PIB con año base 2020 proporcionado por la misma base de datos, ya que constituye el indicador más adecuado entre los disponibles. La aplicación de este procedimiento de deflactación es clave para, por un lado, garantizar la coherencia

---

<sup>1</sup>Un deflactor es un índice económico que se utiliza para eliminar el efecto de la inflación en el valor monetario de los bienes y servicios.

Cuadro 1: Resumen de las magnitudes macroeconómicas de BDMACRO consideradas en este artículo y su modo de uso para estimar las categorías económicas marxistas elementales  $c$ ,  $v$  y  $pv$ .

Magnitud	Sigla/código	Modo de uso
Stock de Capital total (AMECO)	K_AMECO	Uso como capital constante $c$
Remuneración de asalariados	RA	Tras deflactar el dato, uso como capital variable $v$
Producto Interior Bruto a precios corrientes	PIBpm	Tras deflactar el dato, uso en Ecuación (5) para aproximar $pv$
Consumo de capital fijo	CCF	Tras deflactar el dato, uso como $c'$ en Ecuación (5) para aproximar $pv$
Deflactor del Producto Interior Bruto	dPIB	Usado para transformar a precios constantes los flujos RA, PIBpm y CCF

entre las distintas categorías económicas ortodoxas empleadas en este artículo, puesto que el *stock* de capital fijo (es decir, Stock de Capital total (AMECO)) viene indicado en precios constantes. Por otro lado, el trabajar a precios constantes nos permite analizar tendencias históricas y ciclos sin que la inflación distorsione la interpretación.

Nótese que todos los flujos anuales y el *stock* de capital fijo procedentes de BDMACRO utilizados en este estudio se expresan en millones de euros y se usan directamente en dicha unidad monetaria, siguiendo la literatura previa, que sugiere que los precios pueden emplearse como una medida *proxy* razonable de los tiempos de trabajo (Izquierdo, 2003; Zhao et al., 2024).

Finalmente, para mayor conveniencia del lector, el Cuadro 1 recoge un resumen de las magnitudes macroeconómicas de BDMACRO adoptadas en el presente trabajo y su modo de uso para aproximar las categorías económicas marxistas elementales  $c$ ,  $v$  y  $pv$ . A partir de estas categorías se construyen las curvas de composición orgánica del capital y de tasas de plusvalía y ganancia (Ecuaciones (2), (3) y (4), respectivamente), las cuales se muestran en el apartado siguiente.

### III Resultados y discusión

Esta sección se organiza en dos partes: la presentación de los resultados (Subsección III.A) y su discusión e interpretación (Subsección III.B), centradas en la evolución de la tasa

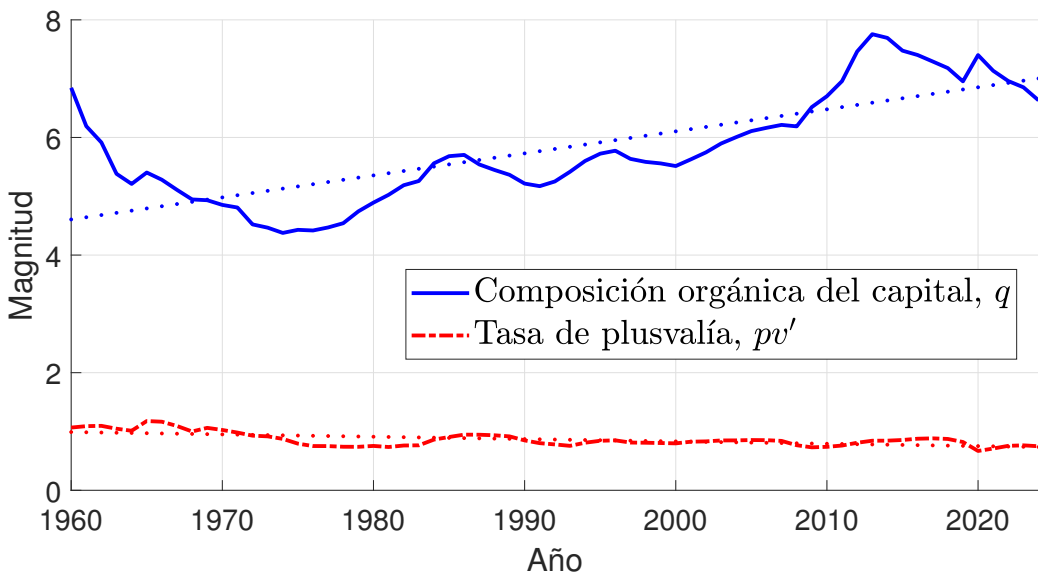


Figura 1: Evolución de la composición orgánica del capital,  $q$ , y de la tasa de plusvalía,  $pv'$ , para el conjunto de la economía española desde 1960 hasta 2024. Las tendencias de estas curvas (líneas punteadas) se han obtenido mediante sendos ajustes lineales por mínimos cuadrados. Fuente: elaboración propia a partir de BDMACRO.

de ganancia y de sus categorías económicas constitutivas en el contexto de la economía española.

### III.A Presentación de resultados

La Figura 1 representa la evolución de la composición orgánica del capital,  $q$ , y de la tasa de plusvalía,  $pv'$ , en el ámbito de la economía española entre 1960 y 2024. De forma paralela, la Figura 2 ilustra la dinámica temporal de la tasa de ganancia,  $g'$ , en España para el mismo intervalo de tiempo. Este marco temporal de análisis (es decir, 1960–2024) se seleccionó debido a que es el mayor lapso de tiempo para el cual existen datos disponibles en BDMACRO de todas las magnitudes macroeconómicas necesarias. Además, obsérvese que estas mismas figuras también representan tendencias lineales —estimadas mediante mínimos cuadrados ordinarios (MCO) (Wooldridge, 2013; Gujarati and Porter, 2009)— de las diferentes categorías económicas ( $q$ ,  $pv'$  y  $g'$ ).

El Cuadro 2 recopila los datos numéricos (redondeados al segundo decimal) empleados en la generación de las anteriores figuras. Adicionalmente, con el objetivo de facilitar la reproducibilidad del presente estudio, el Cuadro 3 recoge los valores numéricos anuales, en millones de euros, de las categorías marxistas elementales  $c$ ,  $v$  y  $pv$  inicialmente estimadas.

Todos los resultados expuestos en esta subsección se han obtenido siguiendo la metodología detallada en la Sección II.

Cuadro 2: Valores anuales de la composición orgánica del capital ( $q$ ), la tasa de plusvalía ( $pv'$ ) y la tasa de ganancia ( $g'$ ), esta última en porcentaje, para el conjunto de la economía española. Todos los valores han sido redondeados al segundo decimal. Fuente: elaboración propia a partir de BDMACRO.

Año	$q$	$pv'$	$g' (%)$	Año	$q$	$pv'$	$g' (%)$
1960	6,84	1,07	13,60	1993	5,42	0,76	11,78
1961	6,19	1,09	15,17	1994	5,60	0,81	12,26
1962	5,91	1,10	15,85	1995	5,72	0,84	12,52
1963	5,38	1,05	16,41	1996	5,77	0,85	12,54
1964	5,21	1,01	16,30	1997	5,64	0,81	12,23
1965	5,40	1,18	18,39	1998	5,58	0,81	12,28
1966	5,28	1,17	18,57	1999	5,56	0,80	12,26
1967	5,11	1,09	17,90	2000	5,51	0,80	12,25
1968	4,95	1,00	16,82	2001	5,63	0,83	12,47
1969	4,93	1,06	17,89	2002	5,75	0,83	12,33
1970	4,85	1,03	17,53	2003	5,90	0,85	12,29
1971	4,81	0,98	16,90	2004	6,01	0,85	12,11
1972	4,52	0,93	16,83	2005	6,11	0,85	12,02
1973	4,47	0,92	16,78	2006	6,16	0,85	11,90
1974	4,38	0,87	16,26	2007	6,21	0,84	11,64
1975	4,43	0,79	14,61	2008	6,19	0,77	10,66
1976	4,42	0,75	13,89	2009	6,52	0,73	9,72
1977	4,47	0,75	13,74	2010	6,70	0,74	9,60
1978	4,54	0,74	13,36	2011	6,96	0,76	9,56
1979	4,74	0,74	12,88	2012	7,46	0,81	9,55
1980	4,89	0,75	12,80	2013	7,76	0,84	9,63
1981	5,02	0,74	12,22	2014	7,69	0,84	9,71
1982	5,19	0,76	12,31	2015	7,48	0,86	10,09
1983	5,26	0,76	12,22	2016	7,40	0,88	10,44
1984	5,56	0,86	13,14	2017	7,29	0,88	10,65
1985	5,68	0,91	13,56	2018	7,18	0,87	10,67
1986	5,70	0,95	14,12	2019	6,95	0,82	10,32
1987	5,54	0,94	14,44	2020	7,40	0,67	7,96
1988	5,45	0,94	14,51	2021	7,13	0,71	8,73
1989	5,36	0,92	14,41	2022	6,96	0,76	9,50
1990	5,22	0,85	13,65	2023	6,85	0,76	9,73
1991	5,17	0,80	12,99	2024	6,63	0,75	9,81
1992	5,25	0,78	12,48	—	—	—	—

Cuadro 3: Valores anuales de capital constante ( $c$ ), capital variable ( $v$ ) y plusvalía ( $pv$ ), expresados en millones de euros, para el conjunto de la economía española. Los valores de  $v$  y de  $pv$  han sido redondeados a la unidad. Fuente: elaboración propia a partir de BDMACRO.

Año	$c$	$v$	$pv$	Año	$c$	$v$	$pv$
1960	524.949	76.696	81.804	1993	1.967.049	363.175	274.475
1961	536.655	86.672	94.548	1994	2.022.678	361.187	292.234
1962	551.122	93.178	102.107	1995	2.086.446	364.496	306.945
1963	568.731	105.679	110.659	1996	2.150.686	372.428	316.309
1964	589.973	113.239	114.632	1997	2.220.024	393.909	319.770
1965	616.983	114.179	134.448	1998	2.302.539	412.279	333.438
1966	648.918	122.886	143.308	1999	2.398.522	431.483	346.822
1967	684.163	133.913	146.436	2000	2.504.843	454.257	362.520
1968	721.907	145.960	145.952	2001	2.615.250	464.684	383.956
1969	764.242	154.930	164.482	2002	2.729.984	475.034	395.087
1970	806.908	166.267	170.552	2003	2.854.796	484.090	410.321
1971	845.710	175.876	172.606	2004	2.985.777	497.152	421.938
1972	893.723	197.669	183.657	2005	3.129.202	512.288	437.859
1973	951.124	212.966	195.366	2006	3.286.964	533.286	454.498
1974	1.012.912	231.430	202.334	2007	3.449.818	555.188	466.356
1975	1.068.347	241.210	191.357	2008	3.593.358	580.645	444.876
1976	1.121.085	253.746	190.927	2009	3.681.713	564.987	412.721
1977	1.171.793	262.158	197.035	2010	3.754.000	560.185	414.039
1978	1.219.172	268.439	198.777	2011	3.805.411	546.914	416.173
1979	1.260.500	265.739	196.517	2012	3.837.356	514.294	415.721
1980	1.301.701	266.077	200.730	2013	3.858.774	497.516	419.433
1981	1.339.028	266.499	196.183	2014	3.885.605	505.091	426.232
1982	1.375.501	265.150	201.923	2015	3.919.638	524.282	448.519
1983	1.408.728	267.851	204.860	2016	3.954.277	534.201	468.473
1984	1.434.893	258.070	222.472	2017	3.999.063	548.432	484.319
1985	1.464.373	257.735	233.574	2018	4.054.816	564.768	493.082
1986	1.502.300	263.402	249.233	2019	4.119.219	592.349	486.402
1987	1.550.366	279.797	264.350	2020	4.158.324	561.866	375.852
1988	1.610.714	295.651	276.599	2021	4.201.219	588.882	418.169
1989	1.683.582	313.819	287.727	2022	4.249.952	610.672	461.715
1990	1.762.541	337.928	286.677	2023	4.298.101	627.175	479.405
1991	1.841.478	356.050	285.377	2024	4.348.757	655.728	491.123
1992	1.911.864	364.046	284.034	—	—	—	—

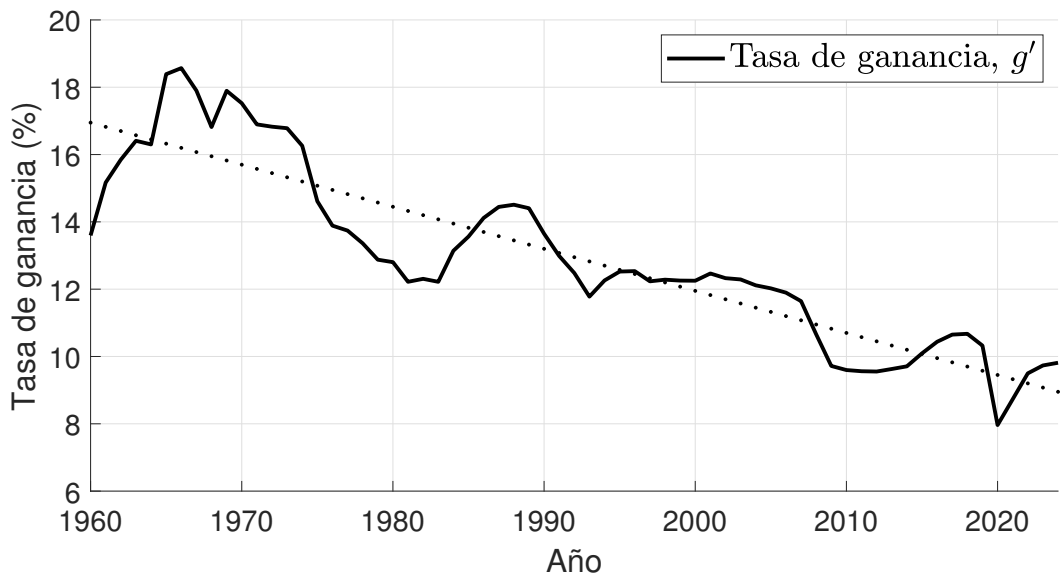


Figura 2: Evolución de la tasa de ganancia,  $g'$ , en porcentaje, para el conjunto de la economía española desde 1960 hasta 2024. La tendencia de esta curva (línea punteada) se ha obtenido mediante un ajuste lineal por mínimos cuadrados. Fuente: elaboración propia a partir de BDMACRO.

### III.B Discusión

Tal y como se observa en la Figura 1, la composición orgánica del capital muestra una tendencia claramente ascendente como resultado de la creciente mecanización de los procesos productivos señalada en la Subsección I.B. Sin embargo, la tasa de plusvalía —cuya determinación se inscribe en el plano de la lucha de clases (Marx, 2002; Mandel, 1979)— experimenta un ligero descenso a lo largo del tiempo a pesar de la evidente degradación de las condiciones materiales de la clase trabajadora española a través de estas últimas décadas (Úbeda et al., 2020). La explicación de este fenómeno *aparentemente* contradictorio radica en que, en economías como la española, donde el peso del sector inmobiliario y financiero es muy elevado, parte de la extracción de valor se desplaza de la esfera productiva hacia mecanismos financieros y rentistas, lo cual no tiene un reflejo directo en la tasa clásica de plusvalía (Lapavitsas, 2013; López and Rodríguez, 2011). Entre estos mecanismos que transfieren rentas del trabajo al capital sin necesariamente pasar por la plusvalía productiva clásica se encuentran el aumento del endeudamiento de los hogares (p. ej., hipotecas y créditos al consumo), inflación en vivienda y alquileres (que actualmente absorben una proporción considerable del salario (Romero-Jordán, 2024)) o la privatización de servicios públicos como sanidad y educación. En consecuencia, resulta necesario considerar de manera integrada las esferas financiero-rentista y productiva para, empíricamente (mediante categorías distintas de  $pv'$ ), estimar el aumento real de la

explotación de la clase trabajadora (Farina, 2018).

La evolución creciente de  $q$ , combinada con el comportamiento más o menos estable de  $pv'$ , revela, a partir de la Ecuación (4), la tendencia descendente de la tasa de ganancia representada en la Figura 2. Esta tendencia de la rentabilidad a disminuir (14–18 % al comienzo de la serie vs. 8–10 % al final de la misma) con la consecución de los ciclos productivos de la economía española como consecuencia de la trayectoria ascendente de  $q$  respalda la validez de la ley del descenso tendencial de la tasa de ganancia (Marx, 1976). Nótese que este declive estructural de  $g'$  es la causa subyacente del desplazamiento de la extracción de valor desde la esfera productiva (progresivamente menos rentable) hacia la esfera financiero-rentista (Tomé and Ferrández, 2021), tal como se discutió en el párrafo anterior.

Más allá de la tendencia descendente de la curva de la tasa de ganancia, resulta relevante atender a su contorno, ya que, a través de sus fluctuaciones cíclicas de corto plazo, refleja una diversidad de acontecimientos históricos. En particular, los valles de  $g'$  en la Figura 2 constituyen indicadores de etapas de depresión de la economía española. Entre ellos, cabe destacar: 1) el agotamiento del crecimiento de posguerra y el auge de las políticas neoliberales como respuesta (1973–1983), 2) la crisis económica en España de 1992–1993 (Quintana et al., 1993), 3) la Gran Recesión (2008–2013), y 4) el impacto de la pandemia de COVID-19 (2020).

Un análisis comparativo de las Figuras 1 y 2 revela asimismo las siguientes correlaciones:

1. *Entre la tasa de plusvalía y la tasa de ganancia:* Coinciendo con las fases de crisis económica (valles de  $g'$ ), la tasa de plusvalía,  $pv'$ , tiende a experimentar ligeros descensos. Este fenómeno no se debe a que la clase capitalista relaje la presión sobre la fuerza de trabajo, sino a que la plusvalía efectiva —que se estima a través del PIB; véase la Ecuación (5)— disminuye temporalmente como consecuencia de las dificultades en su realización en el mercado y de la crisis general (Shaikh, 2016; Kliman, 2011).
2. *Entre la composición orgánica del capital y la tasa de ganancia:* Coinciendo con las fases de desaceleración (inicio de los valles de  $g'$ ), la composición orgánica del capital,  $q$ , tiende a experimentar un relanzamiento cuya magnitud varía según el contexto económico. Este comportamiento se explica porque la clase capitalista procura restaurar la rentabilidad mediante el aumento de la inversión en capital constante,  $c$ , con el objetivo de elevar la productividad del trabajo a través de la nueva maquinaria (Kliman, 2011; Roberts, 2016).

Estos descensos transitorios de  $pv'$ , combinados con la tendencia al alza de la composición orgánica del capital, explican en parte los valles observados en la serie de la tasa de

ganancia, reforzando la validez empírica de la ley del descenso tendencial de la tasa de ganancia formulada por Marx (Kliman, 2011; Roberts, 2016).

## IV Conclusión

---

En conclusión, el presente estudio ha permitido validar empíricamente la ley del descenso tendencial de la tasa de ganancia en el caso de la economía española a lo largo del período 1960–2024. La evolución observada de la composición orgánica del capital y de la tasa de plusvalía, así como su relación con la tasa de ganancia, confirma que el crecimiento sostenido de  $q$  ha ejercido una presión estructural sobre  $g'$ , mientras que la ligera tendencia descendente de  $pv'$  refleja, de forma secundaria, la transferencia de extracción de valor desde la esfera productiva hacia mecanismos de carácter financiero-rentista. Estos resultados aportan evidencia de los límites históricos del capitalismo en España, mostrando cómo la lógica de acumulación y mecanización del capital genera restricciones sistémicas sobre la rentabilidad agregada. Asimismo, la metodología seguida, basada en la construcción de series de  $c$ ,  $v$  y  $pv$  a partir de las magnitudes macroeconómicas de BDMACRO y su transformación a precios constantes, proporciona una base rigurosa y reproducible para el análisis, consolidando la utilidad de esta aproximación para estudios comparativos y posteriores investigaciones sobre la dinámica de la rentabilidad en distintas economías capitalistas.

## Referencias

- Carchedi, G., 2011. Behind the Crisis: Marx's Dialectics of Value and Knowledge. Brill.
- European Commission, 2025. Annual Macro-Economic Database (AMECO). URL: [https://economy-finance.ec.europa.eu/economic-research-and-databases/economic-databases/ameco-database\\_en](https://economy-finance.ec.europa.eu/economic-research-and-databases/economic-databases/ameco-database_en). Consultado el 1 de septiembre de 2025.
- Farina, J., 2018. La tasa de explotación como medida de desigualdad global (1973-2012): Un aporte desde el Marxismo Cuantitativo. TeseoPress.
- Gujarati, D.N., Porter, D.C., 2009. Basic Econometrics (5th Edition). McGraw Hill.
- Harvey, D., 1999. The Limits to Capital. Verso.
- Harvey, D., 2012. El enigma del capital. Editorial Akal.

- Izquierdo, S.C., 2003. La rentabilidad del capital en España. *Revista de Economía Crítica*, 201–228.
- Kliman, A., 2011. *The Failure of Capitalist Production: Underlying Causes of the Great Recession*. Pluto Press.
- Lapavitsas, C., 2013. *Profiting Without Producing: How Finance Exploits Us All*. Verso.
- López, I., Rodríguez, E., 2011. The Spanish Model. *New Left Review* 69, 5–29.
- Mandel, E., 1979. *El capitalismo tardío*. Ediciones Era.
- Marx, K., 1976. *El Capital, Crítica de la Economía Política. Libro III: El proceso global de la producción capitalista*. Editorial Siglo XXI.
- Marx, K., 2002. *El Capital*, Vol. I. Editorial Siglo XXI.
- Ministerio de Hacienda, Secretaría de Estado de Presupuestos y Gastos, 2025. Base de Datos Macroeconómicos de España (BDMACRO). <https://www.sepg.pap.hacienda.gob.es/sitios/sepg/es-ES/Presupuestos/DocumentacionEstadisticas/Documentacion/paginas/bdmacro.aspx>. Consultado el 29 de agosto de 2025.
- Quintana, E.F., Sánchez, V.V., Inchausti, J.A., 1993. Economía española 93: el desarrollo se va, los desequilibrios se quedan. *Cuadernos de Información Económica*, 3–29 URL: <https://www.funcas.es/wp-content/uploads/2022/04/CIE-71-Economia-Esp%C3%B1ola-93.pdf>.
- Roberts, M., 2016. *The Long Depression: How it Happened, Why it Happened, and What Happens Next*. Haymarket Books.
- Romero-Jordán, D., 2024. ¿Cuál es el esfuerzo por vivir de alquiler en España? Evolución y diferencias por comunidades autónomas, in: Valverde, S.C. (Ed.), *Mercado Inmobiliario y Política de la Vivienda en España*. Funcas, pp. 85–95. URL: [https://www.funcas.es/wp-content/uploads/2024/09/Estudios104\\_3.pdf](https://www.funcas.es/wp-content/uploads/2024/09/Estudios104_3.pdf).
- Shaikh, A., 2016. *Capitalism: Competition, Conflict, Crises*. Oxford University Press.
- Tomé, J.P.M., Ferrández, M.F.N., 2021. Profit rates and asset–price inflation in the Spanish economy. *Revista Galega de Economía* 30, 1–21. URL: <https://revistas.usc.gal/index.php/rge/article/view/7273>.

- Wooldridge, J.M., 2013. *Introductory Econometrics: A Modern Approach* (5th Edition). Cengage Learning.
- Zhao, F., Zhang, J., Luo, Z., 2024. Market competition, labor value and price: a Marxist disequilibrium theoretical and empirical framework. *China Political Economy* 7, 47–71.
- Úbeda, M., Àngels Cabasés, M., Sabaté, M., Strecker, T., 2020. The Deterioration of the Spanish Youth Labour Market (1985–2015): An Interdisciplinary Case Study. *YOUNG* 28, 544–563. URL: <https://journals.sagepub.com/doi/10.1177/1103308820914838>, doi:10.1177/1103308820914838.